

تصفیه‌ی تکمیلی شیرابه با استفاده از فرایند مایکروویو - فنتون به روش تحلیل تک‌فاکتوری

فاطمه باران چشمۀ (کارشناس ارشد)

نادر مختارانی^{*} (دانشیار)

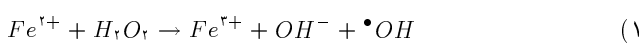
دانشکده‌ی هندسی عمران و محیط زیست، دانشگاه تربیت مدرس

هدف از انجام پژوهش حاضر، تصفیه‌ی تکمیلی شیرابه با استفاده از فرایند مایکروویو - فنتون بوده است. مطالعه‌ی حاضر، در مقیاس آزمایش‌گاهی و به صورت ناپیوسته، با استفاده از شیرابهی خروجی تصفیه‌خانه، یکی از کارخانجات کمپوست کشور انجام پذیرفته است. در پژوهش حاضر، پس از انجام آزمایش‌های اولیه، اثر مجزای متغیرهای مختلف در تصفیه‌ی تکمیلی شیرابه توسط فرایند مایکروویو - فنتون به روش تحلیل تک‌عاملی بررسی شده است. براساس نتایج آزمایش‌ها در شرایط بهینه، بیشینه‌ی راندمان حذف COD، ازت کل، رنگ و کدروت از شیرابه به ترتیب به میزان ۷۲٪، ۷۵٪ و ۸۸٪ در ۳ $\text{PH} = ۳$. $\frac{\text{H}_2\text{O}_2}{\text{Fe}^{۲+}} = ۳/۷۵$ و تابش مایکروویو به مدت ۵ دقیقه با توان ۱۷۰ وات حاصل شد. براساس نتایج حاصل و با توجه به میزان COD اولیه‌ی شیرابه، فرایند مورد استفاده قدر به کاهش بار آلی شیرابه به منظور تخلیه به محیط‌های پذیرنده نیست. اما با توجه به افزایش نسبت $\frac{\text{BOD}}{\text{COD}}$ از ۱/۰ به ۲/۵، می‌توان امیدوار بود که با یک مرحله فرایند بیولوژیکی متناول، مانند لجن فعال، بار آلی باقیمانده‌ی شیرابه به محدوده‌ی تعیین شده توسط استاندارد تقلیل پاید.

واژگان کلیدی: تصفیه‌ی شیرابه، اکسیداسیون پیشرفته، فرایند فنتون، امواج مایکروویو.

۱. مقدمه

فرایند فنتون، شامل واکنش هیدروژن پراکسید با یون‌های آهن است، که به تولید گونه‌های فعال هیدروکسیل می‌انجامد (هیدروکسیل فعال به وجود آمده می‌تواند مواد آلی را اکسید کنند). فرایند فنتون برای اولین بار توسط فنتون^۱ (۱۸۹۴) کشف شد. در پژوهش اخیر، امکان اکسیداسیون تارتریک اسید با استفاده از هیدروژن پراکسید و نمک آهن (II) برای اولین بار گزارش شد.^۲ واکنش فنتون، به عنوان روشی مناسب در تصفیه و حذف مواد آلی، مطابق رابطه‌ی ۱ انجام می‌شود. در واکنش فنتون، یون آهن (II) به یون آهن (III) و H_2O_2 به رادیکال هیدروپراکسید تبدیل می‌شود. این واکنش، هسته‌ی اصلی فرایند فنتون را تشکیل می‌دهد.^[۳]



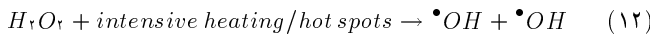
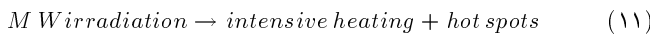
یون آهن (III) تولید شده در واکنش ۱، مطابق با واکنش ۲ با هیدروژن پراکسید اضافی موجود در محیط، احیا و دوباره یون آهن (II) و رادیکال هیدروپراکسید ($\cdot\text{O}_2\text{H}$) تولید می‌شود. واکنش اخیر، واکنش شبه فنتون نامیده می‌شود که سرعت آن خیلی کمتر از واکنش فنتون است و در عین حال امکان تولید $\text{Fe}^{۲+}$ را در یک مکانیزم متناوب فراهم می‌آورد.^[۴]

شیرابه می‌تواند غلظت بالایی از آلاینده‌های خط‌رنگ، مانند: ترکیب‌های آروماتیک، هالوژنه، فنل، فلرات سنگین و آمونیاک داشته باشد که مقدار آن‌ها حتی در مقدار کم هم خط‌رنگ است.^[۵] ورود شیرابه به محیط زیست علاوه بر ایجاد آلودگی خاک و سفره‌های آب زیرزمینی، سبب ورود حجم قابل توجهی از آلودگی‌ها (نیترات، فلرات سنگین و ...) به منابع آب زیرزمینی می‌شود و در درازمدت به صورت یک معضل زیست‌محیطی درمی‌آید. در سال‌های اخیر، استفاده از روش‌های اکسیداسیون پیشرفته به عنوان راه حلی مؤثر در تجزیه‌ی ترکیب‌های آلی رو به گسترش بوده است. فرایندهای اکسیداسیون پیشرفته براساس نوع واکنش به دو دسته‌ی: همگن و ناهمگن و براساس روش تولید رادیکال آزاد، به ۴ دسته‌ی: شیمیایی، الکتروشیمیایی، سوزوشیمیایی و فتوشیمیایی تقسیم می‌شوند. در این راستا، فرایند فنتون، از جمله فرایندهای اکسیداسیون پیشرفته‌ی شیمیایی همگن به شمار می‌رود.^[۶]

* نویسنده مستول
تاریخ: دریافت ۳/۲/۱۳۹۷، اصلاحیه ۱۶/۵/۱۳۹۷، پذیرش ۷/۶/۱۳۹۷.

DOI:10.24200/J30.2018.50602.2330

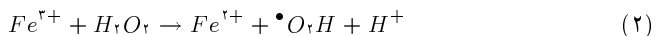
سرعت تجزیه هیدروژن پراکسید به رادیکال های هیدروکسیل مطابق واکنش ۱۲ می شود. همچنین انرژی حرارتی تولیدی باعث افزایش انتقال جرم در محیط واکنش در نتیجه افزایش شدت تجزیه ترکیب های آلبی خواهد شد.^[۱]



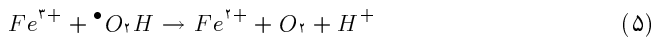
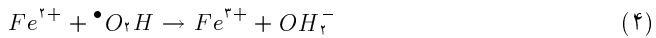
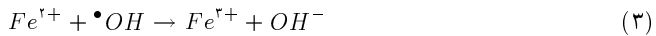
تاكون گزارش های زيادي در خصوص بهبود عملکرد در هنگام تلفيق اشعه مایکرويو با فرايندهای اكسيداسيون منتشر شده است.^[۱۲-۱۳] همكاران^۲ با استفاده از فرايند تلفيقی مایکرويو - شيمه فنتون به تصفيهي فاضلاب COD داروسازی پرداخته و كاهش بارآلی بيش از ۵۷٪ از فاضلاب داروسازی با mg/L ۵۰۰۰ حاصل شده است. در مطالعه اخيير، مقادير بهينه ای ولی حدود Fe^{+4} و H_2O_2 به ترتيب برابر با ۱۳۰۰ و ۴۹۰۰ ميلى گرم بر ليتر، توان بهينه ای مایکرويو ۳۰۰ وات، و pH بهينه برابر با ۴,۲۴ گزارش شده است.^[۱۴] در مطالعه ديكري، فاضلاب صنعتي حاوي ۴,۹۵۷۳ گرم بر ليتر تيوسيانات با كمك فرايند مایکرويو - فنتون تصفيه و در شرطيت بهينه با مقادير H_2O_2 و Fe^{+4} به ترتيب برابر با ۱۷,۳۷ و ۱/۶ ميلى مول، تابش مایکرويو برابر با ۹۰۰ وات و pH = ۳ بحدف تيوسيانات به ميران ۹۰٪ بهدست آمده است.^[۱۵] همچنين تلفيق اشعه مایکرويو با فرايند فنتون در تصفيهي ترکيب هاي ساخت تجزيء پذير در آب آلوده به سوم دفع آفات موثر گزارش شده است.^[۱۶] کاري^۴ و همكاران^{۲۰} نيز ۱۷ تأثير مشيت تلفيق اشعه مایکرويو با فرايند فنتون را در رنگبرى سريع از پساب گزارش كردند.^[۱۷] فرايند مایکرويو - فنتون، همچنين در تصفيهي فاضلاب حاوي ۴۵۰ ميكروگرم بر ليتر آموكسىسيلين در pH = ۳/۵ و مقادير بهينه ای H_2O_2 و Fe^{+4} به ترتيب برابر با ۲,۳۵ ميلى گرم بر ليتر و ۹۵ ميكروگرم بر ليتر، تحت تابش مایکرويو با توان ۱۶۲ وات، ۱۰۰٪ راندمان حذف را به همراه داشته است.^[۱۸]

همچنین وانگ^۵ و همکاران (۲۰۱۴)، pH با غلظت میلی‌گرم بر لیتر در $3/3$ را با استفاده از فرایند مایکروویو - فنتون تا $۹۳/۲$ حذف کرده و مقادیر بهینه نسبت غلظت H_2O_4 به Fe^{3+} و نسبت غلظت H_2O_4 به Fe^{3+} را به ترتیب برابر با $۸۱/۶$ و $۱۳/۹$ به دست آورده‌اند.^[۱۶] همچنین p-Nitrophenol را در مطالعه‌ی دیگری (۲۰۱۵) با تلفیق اشعه مایکروویو و هیدروژن پراکسید یشان در مطالعه‌ی دیگری (۲۰۱۵) با تلفیق اشعه مایکروویو و هیدروژن پراکسید با یون آهن و مس دو ظرفیتی، محلول $۷۷۴/۰$ میلی‌مول بر لیتر $Nitroanilin$ -۳-را در $۵/۳$ pH و تحت تابش اشعه مایکروویو با توان ۱۰۰ وات با راندمان $۹۲/۰$ ٪ تصفیه کرده و مقادیر بهینه $Cu(II)$ به Fe^{3+} و H_2O_4 به ترتیب برابر با $۱۷/۳۷$ و $۰/۷۸$ میلی‌مول بر لیتر گزارش شده است.^[۲۰] همان‌طور که ملاحظه شود، pH که از پارامترهای مؤثر در فرایند مایکروویو - فنتون است، در تمامی مطالعات در محدوده‌ی اسیدی مناسب ارزیابی شده است. این در حالی است که توانان مایکروویو در مطالعات مختلف متغیر بوده است. چراکه به نوع آلاینده بستگی دارد.

با توجه به تنوع ترکیب‌های پسماندهای شهری و بالا بودن درصد رطوبت این نوع زاندانات، تصفیه‌ی شیرابه با روش‌های نوین بیش از پیش ضرورت دارد. با توجه به در دسترس بودن تکنولوژی مایکروپو و کاربرد آسان آن کافی است با درک صحیح ز مایکروپو، فتاوری مذکور با سایر روش‌ها، نظری فرازیند فنتون تلفیق شود تا پیشرفت بهبود تصفیه‌ی شیرابه حاصل شود. از آنجایی که امکان تلفیق اشعه مایکروپو با فرازیند فنتون در تصفیه‌ی شیرابه در داخل کشور میسر است، هدف اصلی از نجام پژوهش حاضر، تصفیه‌ی تکمیلی شیرابه کمپوست با استفاده از فرازیند تلفیقی



در واکنش شبه فتوون نیز رادیکال های هیدروپریوکسیل قادرند به آلائینده های آلی حمله کنند، اما ارتباً خشی آن ها به مراتب کمتر از رادیکال های هیدروکسیل است. مادامی که هیدروژن پراکسید برای تولید رادیکال هیدروپریوکسیل مصرف می شود، آهن نقش کاتالیست را ایفا می کند. علاوه بر واکنش های (۱) و (۲) واکنش های ۳ الی ۵ نیز در تکمیل فرایند فتوون مؤثر هستند.^[۴]



لازم به ذکر است که واکنش‌های ۲ الی ۵، تعیین‌کننده‌ی نزد و سرعت واکنش فتون هستند، اما در کتاب واکنش‌های مذکور، واکنش‌های رادیکال - رادیکال و یا رادیکال - هیدروژن پراکسید نیز صورت می‌گیرند که در روابط ۶ الی ۹ به آن‌ها اشاره شده است. علاوه بر این، واکنش تجزیه‌ی هیدروژن پراکسید به اکسیرین و آب طی واکنش ۱۰ نیز ممکن است صورت پذیرد. واکنش اخیر، منجر به مصرف ناخواسته‌ی H_2O_2 و سبب افزایش هزینه‌های تصفیه می‌شود.^[۵]



همان طور که در واکنش های ۱ الی ۹ ملاحظه می شود، فرایند فتون مکانیزم پیچیده بی دارد. رادیکال های هیدروکسیل در طی انجام یک واکنشی زنجیره ای تولید (واکنش ۱) و در واکنش با یون های آهن (II) واکنش ۳، هیدروزون پراکسید (واکنش ۷) و رادیکال های هیدروپروکسیل (واکنش ۹) صرف می شوند. بنابراین آنچه گفته شد، هیدروژن پراکسید می تواند مطابق واکنش ۱، تولیدکننده و مطابق واکنش ۷، مصرف کننده رادیکال های هیدروکسیل باشد. رادیکال های هیدروکسیل همچنین می توانند با یون های آهن (III) وارد واکنش شوند. [۶] بنابراین نسبت غلظت یون آهن به هیدروژن پراکسید، به عنوان یکی از پارامترهای مهم و تأثیرگذار در فرایند فتون مورد توجه است. در سال های اخیر، کاربرد تئوفیقی امواج مایکروویو با دیگر روش های تصفیه ای فاضلاب، نظیر فتون و الکتروفتون به طور گسترشده استفاده شده است. اثر حرارتی و غیرحرارتی مایکروویو، دو مشخصه ای اصلی مایکروویو بوده است که به طور گسترشده در تصفیه ای آلاینده های محیط زیست بررسی شده اند. در مقایسه با روش های حرارتی معمول، تکنولوژی مایکروویو، حرارتی یکنواخت و با سرعت بالا تولید می کند. به علاوه، امواج مایکروویو باعث برانگیختگی مولکول های واکنش دهنده و تسریع انجام واکنش می شوند. [۷] در طیف امواج الکترومغناطیسی، امواج مایکروویو حد فاصل موج های رادیویی و موج های فروسرخ استند. [۸] مایکروویو شکلی از تابش الکترومغناطیسی با طول موج های مختلف، از ۱ میلی متر تا ۱ متر، با بسامدهای بین ۳۰۰ مگاهرتز تا ۳۰۰ گیگاهرتز است.

نابش اشهی مایکروپو مطابق واکشن ۱۱، باعث ایجاد انرژی حرارتی و همچنین نقطه داغ^۲ در محیط می‌شود. در ادامه، این انرژی حرارتی و نقطه داغ باعث افزایش

۱. ترکیب هم زمان شیرابه، Fe^{2+} و H_2O_2 :
۲. ترکیب شیرابه و Fe^{2+} و سپس افزودن H_2O_2
۳. ترکیب شیرابه و H_2O_2 و سپس افزودن Fe^{2+} .

۲. مواد

شیرابه‌ی مورد استفاده در پژوهش حاضر که مشخصات آن در جدول ۱ ارائه شده است، از خروجی تصفیه‌خانه شیرابه‌ی یکی از کارخانجات کمپوست کشور تهیه شده است. ظرفیت تصفیه‌خانه مذکور، ۵۰ مترمکعب در روز است که در آن شیرابه به روش بیولوژیکی و طی سه مرحله‌ی بی‌هوایی - هوایی - هوایی تصفیه می‌شود. شیرابه‌ی موردنیاز پس از برداشت از محل تصفیه‌خانه به آزمایشگاه محل انجام پژوهش منتقل و سپس آنالیز و تا قبل از استفاده در فرایند مایکروبو - پژوهش در یخچال و در دمای ۴ درجه‌ی سلسیوس نگهداری شده است. تمامی مواد مورد استفاده در پژوهش حاضر نیز از نوع آزمایشگاهی و از شرکت‌های معتبر تهیه شده است.

۳. دستگاه‌ها

در پژوهش حاضر، مقدار EC نمونه‌ها با دستگاه هدایت‌سنیج ۸۰۵MARTINI instrument Mi ۲۱۰۰ P-Turbidimeter مورد استفاده از دستگاه Gardner ساخت شرکت HACH با دقت یک دهم NTU، رنگ برحسب واحد DR₄₀₀₀ با روش مطابق با برنامه‌ی ۱۶۶۴ دستگاه اسپکتروفوتومتر DR₄₀₀₀ مطابق با ۱۰۱۰۵ است. همچنین pH با استفاده از دستگاه pH متر ۲ AZ86۵۰ ساخت کشور تایوان HACH و pH با استفاده از دستگاه pH متر ۲ COD به منظور اندازه‌گیری شده است. همچنین به منظور اندازه‌گیری COD به روش آمپول از دستگاه راکتور مدل DRB₂₀ و دستگاه اسپکتروفوتومتر DR₄₀₀₀ شرکت HACH استفاده شد. جهت ایجاد امواج مایکروبو نیز دستگاه مایکروبو M₂₄₅ ساخت شرکت بوتان با توان اسمی بیشینه‌ی ۸۰ وات استفاده شده است. همچنین به منظور ایجاد اختلاط در خارج از دستگاه مایکروبو از شیکر در داخل دستگاه مایکروبو از همزن پرهیز rpm استفاده شد. در مطالعه‌ی حاضر، عوامل pH، نسبت غلظت هیدروژن پراکسید به غلظت بارآلی اولیه، نسبت غلظت هیدروژن پراکسید به غلظت یون آهن و توان مایکروبو به عنوان متغیرهای مؤثر بررسی شده است.

جدول ۱. خصوصیات کیفی شیرابه‌ی خام پس از فیلمتراسیون.

واحد	مقدار	پارامتر
mg/L	۹۲۰	اکسیژن خواهی شیمیایی (COD)
-	۰/۰۱	نسبت COD به BOD ₅
mg/L	۱۱۵۰	جامدات کل (TS)
mg/L	۱۱۵۰	کل جامدات محلول (TDS)
mS/cm	۲۷	هدایت الکتریکی (EC)
-	۸/۶	pH (بی اج)
Gardner	۱۰/۲	رنگ (Color)
NTU	۱۴۵	کدورت (Turbidity)
meq/L as CaCO _۳	۴۵۰	قلیاقیت (Alkalinity)

مایکروبو - پژوهش تعیین شده است. در پژوهش حاضر، تأثیر pH محیط، نسبت غلظت هیدروژن پراکسید به غلظت بارآلی اولیه، نسبت غلظت هیدروژن پراکسید به غلظت یون آهن، و همچنین توان مایکروبو در راندمان حذف COD، رنگ و کدورت از شیرابه بررسی و شرایط مناسب جهت حذف بیشینه‌ی پارامترهای مذکور تعیین شده است.

۲. مواد و روش‌ها

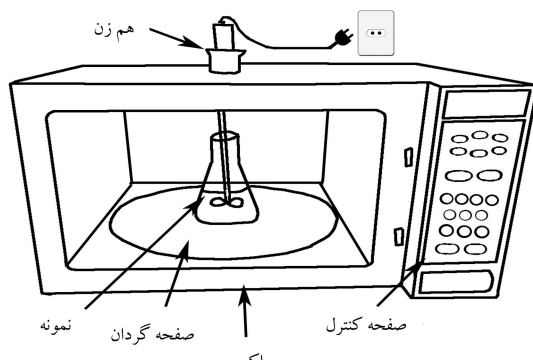
در مطالعه‌ی حاضر، تصفیه‌ی تکمیلی شیرابه‌ی کمپوست با استفاده از فرایند تلفیقی مایکروبو - پژوهش ارزیابی شده است. طرح شماتیک سیستم مورد استفاده در پژوهش حاضر که در مقیاس آزمایشگاهی و به صورت نایپوسته (Batch) انجام شده است در شکل ۱ مشاهده می‌شود. چگونگی روش انجام کار، مواد مورد استفاده و دستگاه‌های موردنیاز جهت اجرای فرایند در ادامه ارائه شده‌اند.

۱.۲. روش‌ها

در این فرایند در ابتدا واکشن‌گرها به صورت مرحله‌ی به نمونه‌های ۲۵۰ میلی‌لیتری شیرابه با pH های مختلف اضافه شدند و در ادامه به مدت ۵ دقیقه تحت تابش مایکروبو قرار گرفتند. لازم به ذکر است که زمان پرتودهی بر مبنای بیشینه‌ی زمان ممکن، برای اینکه در هنگام استفاده از مایکروبو با توان تابش ۳۲۰ وات (بیشینه‌ی توان مورد استفاده در پژوهش حاضر) محلول در داخل راکتور همچنان در زیر نقطه‌ی جوش باشد، اختیار شده است.

در کلیه‌ی آزمایش‌ها از همزن پرهیزی هنگام تابش اشعه‌ی مایکروبو و نیز شیکر به منظور اختلاط کامل استفاده شده است. پس از انجام آزمایش و تکمیل فرایند مایکروبو - پژوهش، pH نمونه‌ها با افزودن محلول NaOH به ۱۱ افزایش یافته است، تا هیدروژن پراکسید به آب و اکسیژن تبدیل شود و آهن به صورت هیدروکسید رسوب کند. پس از زمان مانند ۱ ساعتی جهت تهشیین، نمونه‌ها از صافی عبور داده شدند، سانتریفیوژ صورت گرفت، و سپس COD، رنگ و کدورت محلول صاف شده اندازه‌گیری شده است. لازم به ذکر است که قبل از نمونه‌برداری و انجام آزمایش‌ها، به منظور جبران حجم آب تبخیر شده در طول فرایند، حجم محلول مجدداً با افزودن آب مقطر به میزان اولیه تنظیم شد.

در مطالعه‌ی حاضر، همچنین به منظور تعیین تأثیر تقدم و تأخیر افزودن مواد شیمیایی در راندمان فرایند، آزمایش‌ها به ۳ روش به شرح زیر انجام و بهترین روش در آزمایش‌های بعدی استفاده شده است:



شکل ۱. شماتیک پایلوت مورد استفاده.

توجهی بین راندمان حذف COD در حالت‌های مختلف مشاهده نشد، اما با توجه به نتایج به دست آمده در بخش کنونی، در ادامه در کلیه‌ی آزمایش‌ها تقدیر ترکیب شیرابه و H_2O_2 و سپس افزودن Fe^{2+} مبنای کار قرار گرفت.

شدنند. هر متغیر نیز سطوح مختلفی دارد که با استفاده از روش تحلیل تک عاملی (OFAT)، تأثیر هر عامل به طور جداگانه در راندمان سیستم بررسی شده است.

۲.۳. تأثیر pH

pH یکی از عوامل تأثیرگذار در راندمان فرایند مایکروبو - فنتون است. شکل ۳، اثر pH در نمونه‌های شیرابه در حذف COD توسط فرایند مایکروبو - فنتون را نشان می‌دهد. در بررسی تأثیر pH، از آنجایی که فرایند فنتون در محیط اسیدی صورت می‌گیرد، فقط pH‌های اسیدی و خشی بررسی شده است. طبق نتایج، بیشینه‌ی حذف COD در $pH = 3$ که در آن امکان حلایت کامل Fe^{2+} وجود دارد، حاصل شده است. نتیجه‌ی اخیر با مطالعات پیشین در زمینه‌ی استفاده از فرایندهای فنتون، که توسط قلای کندی و همکاران (۱۳۹۳) انجام پذیرفته است، نیز مطابق دارد.^[۲۱]

همان‌طورکه در شکل ۳ مشاهده می‌شود، در pH‌های پایین‌تر از ۳، میزان حذف کاهش یافته و به کمتر از ۵۰٪ در $pH = 1$ رسیده است. علت این امر تقابل یون‌های هیدروژن اضافی در پیشبرد واکنش ۲ در جهت عکس و در نتیجه افزایش غلظت یون آهن (III) است. از آنجایی که در واکنش اخیر، امکان تبدیل آهن (III) به آهن (II) وجود ندارد و غلظت آهن (II) در دسترس جهت تولید رادیکال هیدروکسیل کاهش یافته است، میزان حذف COD نیز به کمتر از ۵۰٪ کاهش یافته است. مطالعات مروری با بوناسامی و موتوكومار (۲۰۱۲) در زمینه‌ی واکنش‌های فرایند فنتون و مطالعاتی که پیرامون بررسی کارایی فرایند مایکروبو - فنتون در تصفیه‌ی فاضلاب حاوی ترکیب‌های فنیل‌دار و نیز تصفیه‌ی فاضلاب صنعتی با فرایند فنتون انجام شده است، نیز مؤید نتایج مطالعه‌ی حاضر استند.^[۲۲, ۲۳]

از طرفی در pH‌های بالاتر از ۳، درصد حذف COD به کمتر از ۳۰٪ در pH خشی کاهش یافته است. در توجیه این امر می‌توان به کاهش حلایت آهن و در نتیجه کاهش مصرف هیدروژن پراکسید در ابتدا روغن افزایش pH (محدوده‌ی ۳ تا حدود ۵) اشاره کرد. در صورتی که در pH‌های بالاتر از ۵، علت کاهش راندمان حذف، ناپایدار شدن هیدروژن پراکسید و تجزیه‌ی آن به آب و اکسیژن است.^[۲۴, ۲۵]

بنابراین در حالت کلی با افزایش pH توانایی فرایند مایکروبو - فنتون در حذف بار آلوی کاهش می‌یابد. اما افزایش اندک بازده از pH ۴ به ۵ را با توجه به مؤثر بودن pH در میزان انحلال یون آهن (II)، می‌توان به ترکیب نسبت مناسب هیدروژن پراکسید و آهن (II) در آن pH مرتبط دانست. در شکل ۴، اثر pH شیرابه در حذف کدورت و

۳. نتایج و بحث

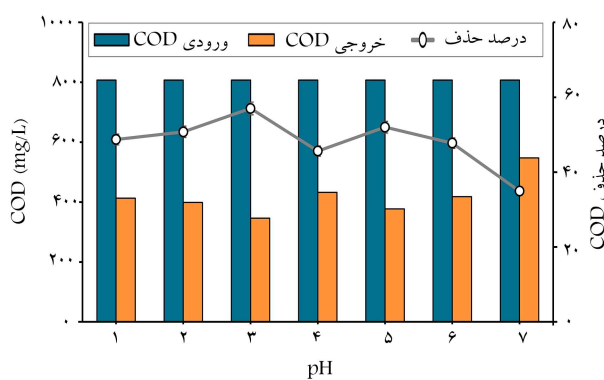
نتایج حاصل از بررسی اولویت افزودن مواد، تأثیر pH، نسبت غلظت هیدروژن پراکسید به غلظت بارآلی، نسبت غلظت هیدروژن پراکسید به غلظت یون آهن و توان مایکروبو - فنتون را در ادامه ارائه شده است.

۳.۱. اولویت افزودن مواد

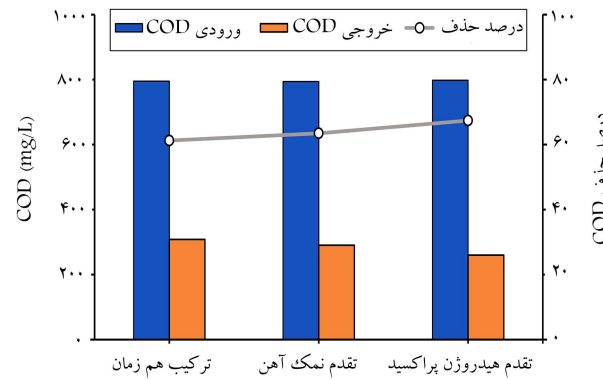
در شکل ۲، اثر اولویت افزودن مواد در میزان حذف COD پس از ۵ دقیقه پرتودهی را نشان می‌دهد. همانطور که مشاهده می‌شود از بین حالت‌های مختلف مورد بررسی، روشنی که در آن ابتدا شیرابه و H_2O_2 ترکیب و سپس Fe^{2+} افزوده می‌شود، نسبت به روش‌های دیگر بیشترین درصد حذف COD را به خود اختصاص داده است.

در توجیه این نتیجه می‌توان روابط (۱، ۳ و ۷) را مدنظر قرار داد. با توجه به واکنش‌های یاد شده، در حالتی که مواد اولیه به صورت هم‌زمان ترکیب می‌شوند، مطابق واکنش ۷، هر دو ترکیب نمک آهن و هیدروژن پراکسید، ماده‌ی اضافی خواهند بود. در این صورت رادیکال هیدروکسیل (OH^-) که محصول واکنش ۱ است، با Fe^{2+} و H_2O_2 اضافی وارد واکنش می‌شود. با هدر رفت رادیکال هیدروکسیل (OH^-) که اساس کار تصفیه به روش فنتون است، بازدهی ۶۱ درصدی در حذف COD حاصل می‌شود. اما در حالتی که ابتدا شیرابه با نمک آهن ترکیب و سپس هیدروژن پراکسید به آن اضافه می‌شود، ماده‌ی H_2O_2 اضافه می‌شود، OH^- حاصل از واکنش ۱ طی واکنش ۳ با Fe^{2+} و واکنش می‌دهد. در این حالت نیز OH^- مصرف می‌شود، اما این بار در مدت زمان کمتر، میزان کمتری از OH^- نسبت به حالت پیشین مصرف می‌شود و بازده به ۶۴٪ افزایش می‌یابد.

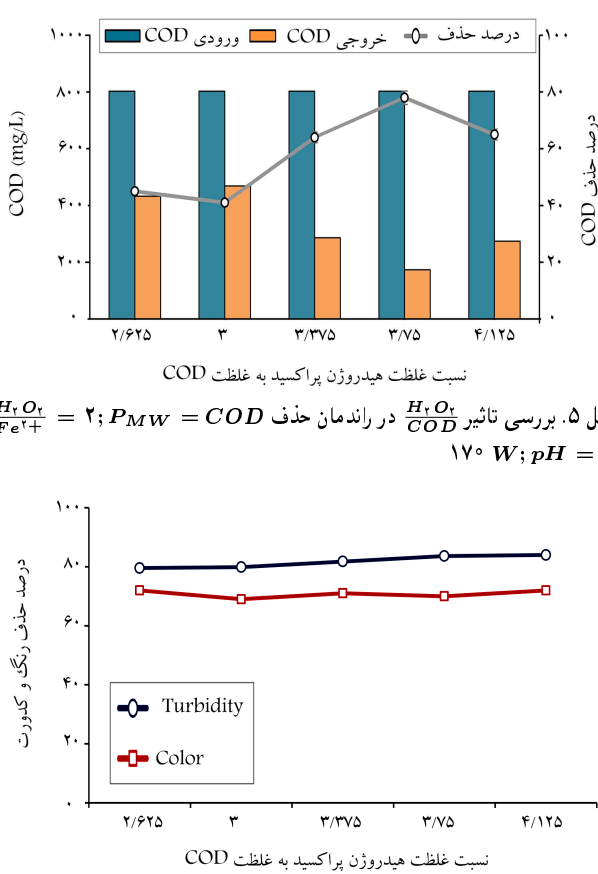
در حالت ترکیب با تقدم H_2O_2 نیز مشابه حالت ترکیب با تقدم نمک آهن، OH^- به صورت ناخواسته طی واکنش ۷ با H_2O_2 وارد واکنش می‌شود، اما مشاهده‌ها نشان می‌دهد که در این حالت میزان مصرف OH^- کمتر است و علت آن کمتر بودن ثابت واکنش ۷ نسبت به واکنش ۳ است. بنابراین در روش سوم، بازدهی حذف COD به ۶۷٪ افزایش می‌یابد. نتایج حاصل از پژوهش حاضر با مطالعات با بوناسامی و موتوكومار (۲۰۱۲) نیز مطابقت دارد.^[۲۶] اگرچه اختلاف قابل



شکل ۳. اثر اولویت افزودن مواد در راندمان حذف COD (۰,۱ $\frac{H_2O_2}{Fe^{2+}}$ = ۴؛ $P_{MW} = ۱۷۰\text{W}$)



شکل ۲. اثر اولویت افزودن مواد در میزان حذف COD (۰,۱ $\frac{H_2O_2}{Fe^{2+}}$ = ۴؛ $pH = ۳$)



شکل ۵. بررسی تأثیر $\frac{H_2O_2}{Fe^{2+}} = 2$; $P_{MW} = COD$ در راندمان حذف کدورت و رنگ = $(\frac{H_2O_2}{Fe^{2+}} = 2; P_{MW} = 170 W; pH = 3)$

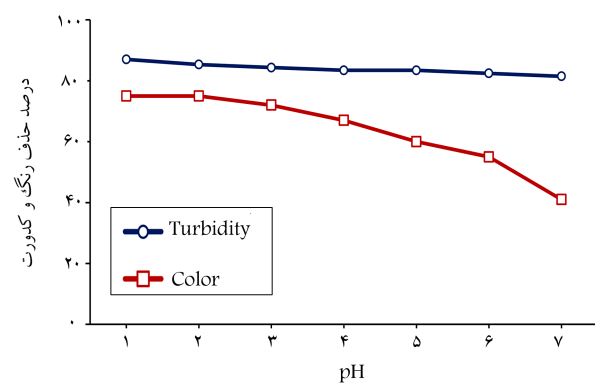
شکل ۶. بررسی تأثیر $\frac{H_2O_2}{COD}$ در راندمان حذف کدورت و رنگ = $(\frac{H_2O_2}{Fe^{2+}} = 2; P_{MW} = 170 W; pH = 3)$

موتوکومار (۲۰۱۲) و نیز مطالعات ژانگ و همکاران (۲۰۰۹) [۲۳، ۲۴] مطابقت دارد. بنابراین مطابق آنچه بیان شد، در پژوهش حاضر، نسبت $\frac{H_2O_2}{COD}$ برابر ۳/۷۵ به عنوان میزان بهینه جهت انجام سایر آزمایش‌ها مدنظر قرار گرفت.

۴. تأثیر نسبت غلظت هیدروژن پراکسید به یون آهن

شکل ۷، تأثیر نسبت غلظت هیدروژن پراکسید به غلظت یون آهن را در کارایی فرایند مایکروبو - فنتون نشان می‌دهد. در مطالعه‌ی حاضر، نسبت غلظت هیدروژن پراکسید به غلظت یون آهن از ۱ تا ۴ افزایش یافته است که براساس نتایج، بیشینه‌ی میزان حذف COD در نسبت غلظت هیدروژن پراکسید به یون آهن برابر با ۳ حاصل شد. تأثیر نسبت غلظت هیدروژن پراکسید به غلظت یون آهن در کارایی فرایند مایکروبو - فنتون نیز در شکل ۸ مشاهده می‌شود که مطابق آن با تغییر نسبت غلظت هیدروژن پراکسید به غلظت یون آهن از ۱ تا ۴، درصد حذف کدورت کمی افزایش و درصد حذف رنگ، تا حدودی کاهش می‌باشد.

همان‌طور که اشاره شد، بیشینه‌ی راندمان حذف COD به میزان ۶۷٪ در نسبت غلظت هیدروژن پراکسید به غلظت یون آهن برابر ۳ حاصل شده است. هنگامی که نسبت یاد شده از ۳ کمتر می‌شود، (غلظت هیدروژن پراکسید کاهش و یا غلظت یون آهن (II) افزایش یابد)، آهن (II) اضافی در سیستم باقی می‌ماند و مطابق با واکنش ۳، رادیکال هیدروکسیل توسط آهن (II) اضافی مصرف می‌شود. از طرف دیگر، زمانی که مقدار آهن (II) کم باشد (یا غلظت هیدروژن پراکسید از حدی

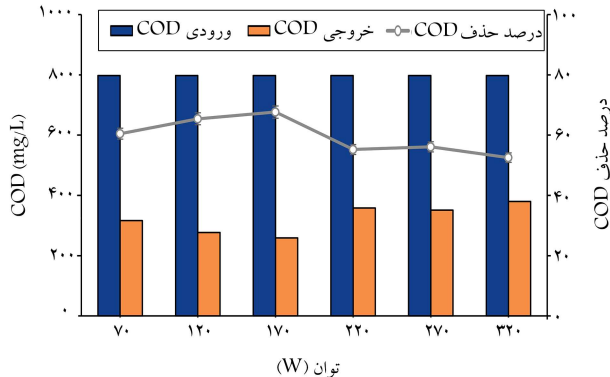


شکل ۴. اثر pH اولیه‌ی شیرابه در راندمان حذف کدورت و رنگ = $(\frac{H_2O_2}{Fe^{2+}} = 2; P_{MW} = 170 W)$

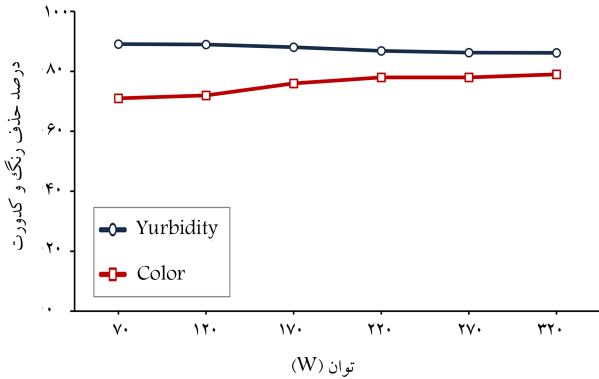
رنگ توسط فرایند مایکروبو - فنتون مشاهده می‌شود که مطابق آن با افزایش pH، میزان حذف رنگ کاهش یافته و در pH = ۷ به کمترین مقدار رسیده است. در فرایند مذکور با افزایش pH از میزان کدورت نیز کاسته شده است که مقدار تغییرات آن بسیار ناچیز و قابل صرف‌نظر است.

طبق مطالعات وانگ و همکاران (۲۰۱۴) و ملکوتیان و همکاران (۱۳۹۲)، در مطالعه‌ی اثر pH در راندمان حذف رنگ ملاحظه شد که کاهش pH، افزایش حذف رنگ را به همراه دارد. [۲۵، ۱۶] طبق مطالعات ایلماز و همکاران (۲۰۱۰)، در ناحیه pH کمتر از ۳/۵ H_2O_2 و یون‌های آهن (II) پایدارترند و واکنش‌های مربوط به اکسیداسیون و احیاء و درنتیجه رنگ زدایی با راندمان بهتری انجام می‌شود. در بالاتر از ۴ نیز یون‌های آهن (II) به راحتی به یون‌های آهن (III) تبدیل می‌شوند که به جای حذف رنگ تمایل زیادی برای تشکیل کمپلکس‌های هیدروکسیفوریک دارند. [۲۶]

۴.۳. تأثیر نسبت غلظت هیدروژن پراکسید در COD
تأثیر نسبت غلظت هیدروژن پراکسید به COD بر کارایی فرایند مایکروبو - فنتون در حذف COD در شکل ۵ مشاهده می‌شود که مطابق آن در نسبت $\frac{H_2O_2}{COD}$ بیشینه‌ی حذف COD به میزان ۷۵٪ حاصل شده است. تأثیر نسبت در حذف کدورت و رنگ توسط فرایند مایکروبو - فنتون نیز در شکل ۶ مشاهده می‌شود. با توجه به نتایج، با افزایش نسبت غلظت هیدروژن پراکسید به COD، درصد حذف کدورت و رنگ نیز به میزان جزوی افزایش یافته است. همان‌طور که اشاره شد، در بررسی تأثیر نسبت $\frac{H_2O_2}{COD}$ در کارایی فرایند مایکروبو - فنتون در حذف COD، نسبت مناسب برابر با ۳/۷۵ به دست آمده است. در توجیه این نتیجه به بررسی اثر غلظت هیدروژن پراکسید مصرفی پرداخته شده، چرا که میزان بارآلی شیرابه‌ی مورد مطالعه، تقریباً ثابت است. زمانی که نسبت $\frac{H_2O_2}{COD}$ بیشتر از ۳/۷۵ است، نرخ تولید رادیکال هیدروکسیل مطابق با واکنش ۱ افزایش می‌یابد؛ اما از طرفی دیگر، وجود هیدروژن پراکسید اضافی در سیستم، مطابق با معادله‌ی ۷، طی واکنش جانبی بین رادیکال‌های هیدروکسیل و هیدروژن پراکسید منجر به کاهش مصرف مناسب رادیکال‌های هیدروکسیل می‌شود. چنانچه میزان ۳/۷۵ کمتر از ۳/۷۵ باشد نیز با توجه به کاهش نرخ تولید رادیکال هیدروکسیل مطابق با واکنش ۱، کم شدن کارایی حذف بارآلی به سادگی قابل توجیه است.
نتایج حاصل از بخش حاضر با مطالعات صورت گرفته توسط ژانگ و همکاران (۲۰۰۵) پیامون تصفیه‌ی شیرابه با فرایند فنتون، نتایج مطالعات مروری با پتانسیمال



شکل ۹. تأثیر توان مایکروویو در میزان حذف کدورت و رنگ ($\frac{H_2O_2}{COD} = ۳/۷۵$; $\frac{H_2O_2}{Fe^{2+}} = COD$ و $pH = ۳$)



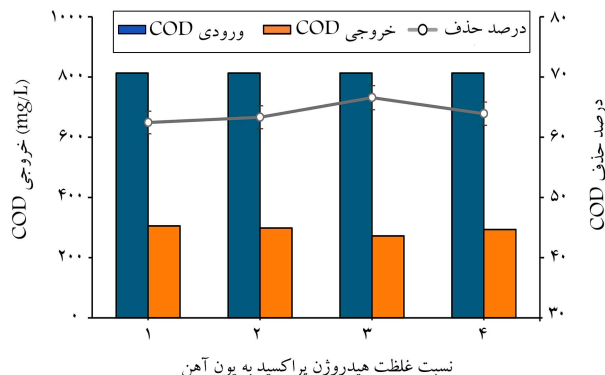
شکل ۱۰. تأثیر توان مایکروویو در میزان حذف کدورت و رنگ ($\frac{H_2O_2}{COD} = ۳/۷۵$; $\frac{H_2O_2}{Fe^{2+}} = ۳$, $pH = ۳$)

مایکروویو، انرژی فعال‌سازی کاهش و نرخ تجزیه افزایش می‌یابد.^[۲۷] اما ادامه‌ی افزایش توان به بیش از ۱۷۰ وات، منجر به کاهش بازدهی حذف COD می‌شود. در توجیه این امر می‌توان به افزایش دمای ناشی از افزایش بیش از حد انرژی پولاریزاسیون و نوسان‌های مولکولی در اثر تابش مایکروویو اشاره کرد. افزایش دما سبب شده است تا هیدروژن پراکسید با جذب انرژی به میزان کافی، طی واکنش^{۱۰}، تجزیه و از دسترس سیستم خارج شود. نتایج بخش حاضر با مطالعات انجام شده پیرامون بررسی فرایند مایکروویو - فتنون و کارایی آن در اکسیداسیون آموکسی‌سیلین هم‌خوانی دارد.^[۱۸, ۱۹] مطابق با شکل ۱۰، افزایش توان مایکروویو باعث کاهش جزئی حذف کدورت و افزایش حذف رنگ شده است. اما به دلیل افزایش دمای بیش از حد شیرابه و همچنین کاهش راندمان حذف COD در توان‌های بالا توان ۱۷۰ وات به عنوان توان مناسب در این فرایند اختخاب شد.

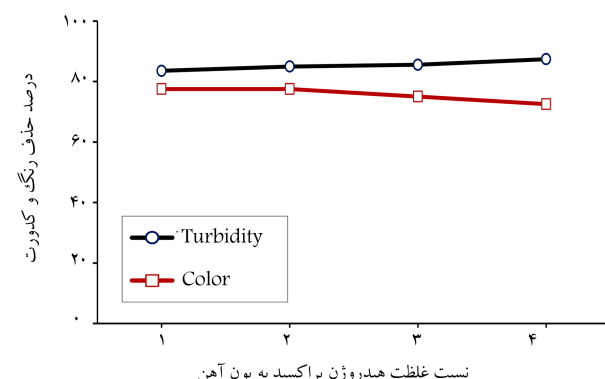
لازم به ذکر است که امواج مایکروویو با تجزیه‌ی ترکیب‌های رنگ‌زا در برخی موارد، مدت زمان حذف رنگ را از چند ساعت به چند دقیقه کاهش می‌دهند. نتایج مطالعه‌ی حاضر، پیرامون اثر توان تابش مایکروویو در حذف رنگ با مطالعات انجام شده در سال ۲۰۰۹ مطابقت دارد.^[۲۸]

۳. کیفیت شیرابه‌ی تصفیه شده

با توجه به نتایج آزمایش‌ها به روش OFAT, pH = ۳, نسبت غلظت هیدروژن پراکسید به غلظت یون آهن برابر ۳ و تابش مایکروویو به مدت ۵ دقیقه با توان ۱۷۰ وات،



شکل ۷. تأثیر نسبت غلظت H_2O_2 به یون آهن در حذف COD ($\frac{H_2O_2}{COD} = ۳/۷۵$; $P_{MW} = ۱۷۰$ W; $pH = ۳$)



شکل ۸. تأثیر نسبت غلظت H_2O_2 به یون آهن در حذف کدورت و رنگ ($\frac{H_2O_2}{COD} = ۳/۷۵$; $P_{MW} = ۱۷۰$ W; $pH = ۳$)

بیشتر باشد)، مطابق با واکنش ۱، کاتالیست کافی جهت تولید رادیکال هیدروکسیل موجود نیست و در هر دو حالت درصد حذف COD کاهش می‌یابد. در این مورد نیز نتیجه‌ی به دست آمده با نتایج حاصل از تحقیقات وانگ و همکاران (۲۰۱۴) مطابقت دارد.^[۱۹]

۴. تأثیر توان مایکروویو

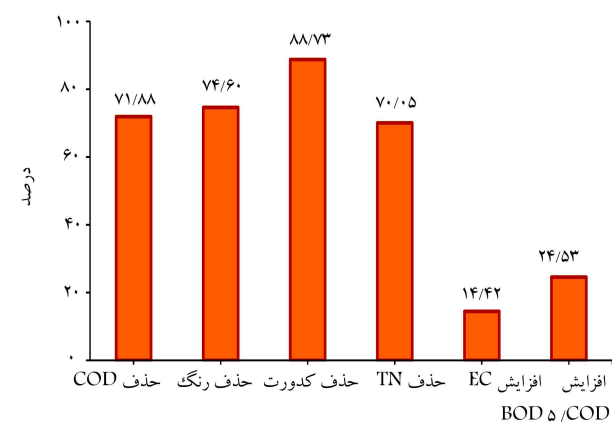
در شکل ۹، تأثیر توان مایکروویو در میزان حذف COD طی فرایند مایکروویو - فتنون ملاحظه می‌شود، که مطابق آن با افزایش توان مایکروویو تا ۱۷۰ وات، درصد حذف COD افزایش و پس از آن با افزایش توان، میزان حذف بار آلتی کاهش یافته است. طبق نتایج آزمایش‌ها، بیشینه‌ی راندمان حذف COD در توان ۱۷۰ وات، به میزان ۷۲٪ حاصل شد. افزایش توان اشعه‌ی مایکروویو منجر به افزایش حرکت‌های نوسانی مولکول‌ها و در نتیجه افزایش ثابت واکنش‌های فرایند فتنون شده (طبق رابطه‌ی آرنیوس) و کارایی فرایند را افزایش داده است. به طور مثال، زمانی که هیدروژن پراکسید موجود در محلول در مععرض تابش مایکروویو قرار می‌گیرد، مطابق با واکنش ۱۳، رادیکال‌های هیدروکسیل بیشتری تولید می‌کند و علت این افزایش، ارتقاء سطح انرژی مولکول‌هاست که منجر به افزایش تجزیه‌ی مواد آلتی نیز می‌شود.

$$H_2O_2 \xrightarrow{MW} 2OH^{\bullet} \quad (۱۳)$$

از طرفی دیگر، تابش مایکروویو باعث دوران و تحریک مولکول‌های قطبی می‌شود و آنتروپی سیستم نیز افزایش می‌یابد. بتاریین می‌توان ادعا کرد که با تابش

این مقدار از میزان تعیین شده در استاندارد تخلیه‌ی پساب به محیط‌های پذیرنده بالاتر است، اما با توجه به افزایش قابل توجه نسبت $\frac{BOD}{COD}$ ، پس از انجام فرایند امکان تصفیه‌ی بیولوژیکی مجدد شیرابه فراهم شده است. بنابراین در مرحله‌ی کنونی می‌توان امیدوار بود که با یک مرحله‌ی فرایند بیولوژیکی متدوال، مانند لجن فعال باز آلی شیرابه به محدوده‌ی تعیین شده توسط استاندارد تقلیل یابد.

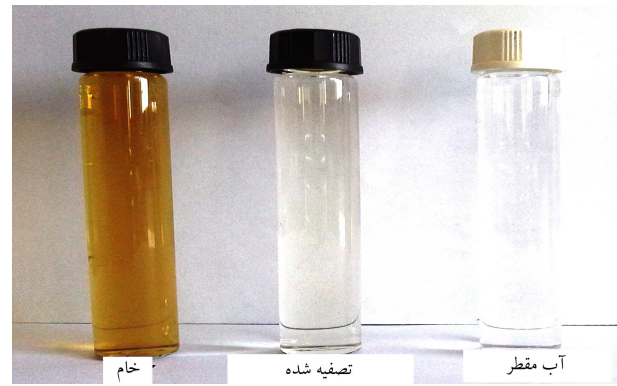
افزایش EC به مقدار تقریبی ۱۴٪ نیز به علت افزودن اسید به نمونه‌ها جهت انجام واکنش فتون و در ادامه، افزودن باز جهت قطع واکنش و تهشینی است. در شکل ۱۲، نیز رنگ و کدورت شیرابه‌ی خام و تصفیه شده با آب مقطر مقایسه شده است. همان‌طور که مشاهده می‌شود، رنگ شیرابه‌ی تصفیه شده توسط فرایند مایکروبو - فتون تا حد زیادی از بین رفته است و با رنگ آب مقطر اختلاف چندانی ندارد.



شکل ۱۱. تغییرات کیفی شیرابه‌ی تصفیه شده با فرایند مایکروبو - فتون ($\frac{H_2O_2}{COD} = ۳/۷۵$; $\frac{H_2O_2}{Fe^{2+}} = ۳$; $P_{MW} = ۱۷۰ W$; $pH = ۳$)

۴. نتیجه‌گیری

هدف از انجام مطالعه‌ی حاضر، بررسی کارایی فرایند مایکروبو - فتون در تصفیه‌ی تکمیلی شیرابه و کاهش بارآلی، کدورت و رنگ بوده است. نتایج آزمایش‌ها نشان داد چنانچه در ترکیب مواد اولیه‌ی فرایند مایکروبو - فتون، ابتدا H_2O_2 و شیرابه ترکیب و سپس نمک Fe^{2+} به محلول اضافه شود، کارایی فرایند با مصرف بهینه‌ی رادیکال‌های هیدروکسیل افزایش می‌یابد. در این فرایند در ۳ pH = ۳ ، نسبت غلظت H_2O_2 به Fe^{2+} برابر $۳/۷۵$ ، نسبت غلظت Fe^{2+} به Fe^{3+} برابر ۳ و تابش مایکروبو به مدت ۵ دقیقه با توان ۱۷۰ وات، بیشینه‌ی راندمان حذف COD ، ازت کل، رنگ و کدورت از شیرابه به ترتیب به میزان $۷۲/۷۰$ ٪، $۷۵/۰$ ٪ و $۸۸/۰$ ٪ حاصل شده است. افزایش نسبت $\frac{BOD}{COD}$ در طی این فرایند از حدود $۰/۲۵$ به $۰/۲۵$ بیانگر تجزیه‌ی ترکیب‌های سخت تجزیه‌پذیر و تبدیل آن‌ها به ترکیب‌های ساده و قابل تجزیه‌ی بیولوژیکی است. بنابراین اگرچه فرایند مایکروبو - فتون به تنایی قادر به تصفیه‌ی تکمیلی شیرابه نیست، اما با پیش‌بینی یک مرحله‌ی تصفیه‌ی بیولوژیکی پس از این فرایند، امکان تصفیه‌ی شیرابه تا حدود تعیین شده توسط استاندارد به منظور تخلیه‌ی پساب به محیط‌های پذیرنده مهیا می‌شود. در خاتمه پیشنهاد می‌شود با بهره‌گیری از نرم افزارهای طراحی آزمایش، میزان تأثیر هر یک از پارامترها و همچنین اندرکنش آن‌ها در راندمان فرایند ارزیابی شود.



شکل ۱۲. مقایسه‌ی رنگ و کدورت شیرابه خام و تصفیه شده با آب مقطر.

به عنوان شرایط بهینه جهت تصفیه‌ی تکمیلی شیرابه با استفاده از فرایند مایکروبو - فتون تعیین شدند. در شرایط اخیر، راندمان حذف COD ، رنگ، کدورت و نیتروژن کل و نیز میزان افزایش هدایت الکتریکی اندازه‌گیری شد که نتایج آن در شکل ۱۱ مشاهده می‌شود.

در این شرایط نسبت BOD/COD نیز از حدود $۰/۰۵$ به $۰/۲۵$ افزایش یافت. بنابراین ترکیب‌های سخت تجزیه‌پذیر طی فرایند مذکور، تجزیه و به ترکیب‌های ساده و قابل تجزیه بیولوژیکی تبدیل شده‌اند. مطابق شکل ۱۱، بیشینه‌ی راندمان حذف COD در فرایند مایکروبو - فتون حدود $۷۲/۰$ ٪ است، که با احتساب اولیه‌ی شیرابه مورد استفاده به میزان $۹۲۰ mg/L$ ، میزان بارآلی شیرابه‌ی تصفیه شده با استفاده از فرایند مایکروبو - فتون به حدود $۲۰ mg/L$ کاهش یافته است.

پانوشت‌ها

بدین‌وسیله از اداره‌ی پژوهش دانشگاه تربیت مدرس برای حمایت مالی از پژوهش حاضر تشرک و قدردانی می‌شود.

منابع (References)

1. Fenton
2. hot spots
3. Yang
4. Cai
5. Wang

1. Yousefi Kebria D., Taghizadeh, M. and Darvish G. "Effect of leachate penetration on the chemical and physical properties of MSW landfill soils (Case study: Tonekabon landfill)", *Nashrieh Shimi va Mohandes Shimi Iran (NSMSI)*, **33**(2), pp. 63-69 (2014).

2. Klavarioti, M., Mantzavinos, D. and Kassinos, D. "Removal of residual pharmaceutical from aqueous systems by advanced oxidation processes, Cyprus", *Environment International Journal*, **35**(2), pp. 402-417 (2009).
3. Fenton, H.J.H. "Oxidation of tartaric acid in the presence of iron", United Kingdom, Chemical Society, *Transactions Journal*, **65**, pp. 899-910 (1894).
4. Babuponnusami, A. and Muthukumar, K. "Advanced oxidation of phenol: A comparison between Fenton, electro-Fenton, sono-electro-Fenton and photo-electro-Fenton processes", *Chemical Engineering Journal, India*, **183**, pp. 1-9 (2012).
5. Pignatello, J.J., Oliveros, E. and Mackay, A. "Advanced oxidation processes for organic contaminant destruction based on the Fenton reaction and related chemistry", USA, *Critical Reviews in Environmental Science and Technology Journal*, **36**(1), pp. 1-84 (2006).
6. Neyens, E. and Baeyens, J. "A review of classic Fenton's peroxidation as an advanced oxidation technique", Belgium, *Hazardous Materials Journal*, **98**(1-3), pp. 33-50 (2003).
7. Sanz, J., Lonbrana, J.I., Deluis, A.M. and et al. "Microwave and Fenton's reagent oxidation of wastewater", Spain, *Environmental Chemistry Letters Journal*, **1**(1), pp. 45-50 (2003).
8. Lidstrom, P., Tierney, J., Wathey, B. and et al. "Microwave assisted organic synthesis - review, Sweden", *Tetrahedron Journal*, **57**(45), pp. 9225-9283 (2001).
9. Pozar, D.M., *Microwave Engineering*, Printed by Hamilton Printing, 4th Edition, USA (2011).
10. Rashidi, B., Alizadeh, K. and Zareiy, S. "Effects of microwave exposure in the radar workers of Islamic Republic of Iran air force", *Journal of IRIAF Health Administration*, **12**(1), pp. 4-10 (2009).
11. Cai, M.Q., Zhu, Y.Z., Wei, Z.S. and et al. "Rapid decolorization of dye orange G by microwave enhanced Fenton-like reaction with delafossite-type CuFeO₂", *Science of the Total Environment*, **580**, pp. 966-973 (2017).
12. Milh, H., Van Eyck, K. and Dewil, R. "Degradation of 4-chlorophenol by microwave-enhanced advanced oxidation processes: Kinetics and influential process parameters", *Water*, **10**, pp. 247 (2018).
13. Li, S., Zhang, G., Zheng, H. and et al. "Microwave-assisted synthesis of BiFeO₃ nanoparticles with high catalytic performance in microwave-enhanced Fenton-like process", *RSC Advances*, **6**, pp. 82439-82446 (2016).
14. Yang, Y., Wang, P. and Liu, Y. "Species distribution of ferric hydrolysates in microwave enhanced fenton-like process and possible mechanism", *Hazardous Materials Journal, China*, **178**(1-3), pp. 293-297 (2010).
15. Xi, B. and Shi, Q. "Removal of thiocyanate from industrial wastewater by microwave-fenton oxidation method", *Environmental Sciences Journal, China*, **25**(1), pp. S201-S204 (2013).
16. Cheng, G., Lin, J., Lu, J. and et al. "Advanced treatment of pesticide-containing wastewater using fenton reagent enhanced by microwave electrodeless ultraviolet", BioMed Research International, Article ID 205903 (2015).
17. Cai, M.Q., Zhu, Y.Z., Wei, Z.S. and et al. "Rapid decolorization of dye orange G by microwave enhanced fenton-like reaction with delafossite-type CuFeO₂", *Science of the Total Environment*, **580**, pp. 966-973 (2017).
18. Homem, V., Alves, A. and Santos, L. "Microwave-assisted Fenton's oxidation of amoxicillin", *Chemical Engineering Journal, Portugal*, **220**, pp. 35-44 (2013).
19. Wang, N., Zheng, T., Jiang, J. and et al. "Pilot-scale treatment of p-nitrophenol wastewater by microwave-enhanced fenton oxidation process: Effects of system parameters and kinetics study", *Chemical Engineering Journal, China*, **239**, pp. 351-359 (2014).
20. Wang, N., Zheng, T., Jiang, J. and et al. "Cu(II)-Fe(II)-H₂O₂ oxidative removal of 3-nitroaniline in water under microwave irradiation", *Chemical Engineering Journal, China*, **260**, pp. 386-392 (2015).
21. Gholikandi, G.B., Masihi, H. and Mirabi, M. "Simultaneous application of fenton - electrochemical reactor for removal of organic loading in biological waste sludge", *Journal of Environmental Studies*, **40**(1), pp. 177-188 (2014).
22. Chakinala, A.G., Gogate, P.R., Burgess, A.E. and et al. "Industrial wastewater treatment using hydrodynamic cavitation and heterogeneous advanced Fenton processing", *Chemical Engineering Journal, United Kingdom*, **152**(2-3), pp. 498-502 (2009).
23. Zhang, H., Choi, H.J. and Huang, C.P. "Optimization of Fenton process for the treatment of landfill leachate", *Hazardous Materials Journal, USA*, **125**(1-3), pp. 166-174 (2005).
24. Zhang, H., Choi, H.J., Canazo, P. and et al. "Multivariate approach to the Fenton process for the treatment of landfill leachate", *Hazardous Materials Journal, China*, **161**(2-3), pp. 1306-1312 (2009).
25. Malakootian, M., Jafari Mansourian, H., Mousavi, S. and et al. "Performance evaluation of fenton process to remove chromium, COD and turbidity from electroplating Industry wastewater", *Journal of Water and Wastewater*, **24**(2), pp. 2-10 (2013).
26. Yilmaz, T., Aygun, A., Berkay, A. and et al. "Removal of COD and colour from young municipal landfill leachate by fenton process", *Environmental Technology Journal, Turkey*, **31**(14), pp. 1635-1640 (2010).

27. Dong, Y.C., Han, Z.B., Liu, C.Y. and et al. "Preparation and photocatalytic performance of Fe(III)-amidoximated PAN fiber complex for oxidative degradation of azo dye under visible light irradiation", *Science of the Total Environment*, **408**, pp. 2245-2253 (2010).
28. Xiaoyi, B., Peng, W., Chunyan, J. and et al. "Degradation of Remazol golden yellow dye wastewater in Mi-crowave enhanced ClO₂ catalytic Oxidation process", China, *Hazardous Materials Journal*, **168**(2-3), pp. 895-900 (2009).